

### 6.1.3. Bifurcación Bogdanov-Takens

Supongamos un sistema planar

$$\dot{x} = f(x, \alpha), \quad x \in \mathbb{R}^2, \quad \alpha \in \mathbb{R}^2, \quad (6.3)$$

con  $f$  suficientemente suave tal que posee en  $\alpha = 0$  el equilibrio  $x = 0$  con un valor propio cero doble  $\lambda_{1,2}(0) = 0$ . Podemos escribir el sistema en  $\alpha = 0$  en la forma

$$\dot{x} = A_0x + F(x), \quad (6.4)$$

donde  $A_0 = Df_x(0, 0)$  es la matriz jacobiana de  $f$  con respecto a  $x$  en  $(x, \alpha) = (0, 0)$ , y  $F(x) = f(x, 0) - A_0x$  es una función suave, con  $F(x) = O(\|x\|^2)$ . Las condiciones de bifurcación implican que

$$\det A_0 = 0, \quad \text{tr} A_0 = 0.$$

Asumamos que  $A_0 \neq 0$ , es decir,  $A_0$  tiene al menos una entrada no nula. Entonces existen dos vectores reales linealmente independientes  $q_0, q_1 \in \mathbb{R}^2$ , tales que

$$A_0q_0 = 0, \quad A_0q_1 = q_0. \quad (6.5)$$

El vector  $q_0$  es el vector propio de  $A_0$  correspondiente al valor propio 0, mientras que  $q_1$  es el vector propio *generalizado* de  $A_0$  correspondiente a este valor propio. Más aún, existen vectores propios *adjuntos*  $p_0, p_1 \in \mathbb{R}^2$  de la matriz traspuesta  $A_0^T$ :

$$A_0^T p_1 = 0, \quad A_0^T p_0 = p_1. \quad (6.6)$$

Los vectores  $q_1$  y  $p_0$  no son únicos incluso si  $q_0$  y  $p_1$  están fijos. No obstante, siempre podemos seleccionar cuatro vectores que satisfagan (6.5) y (6.6) tales que

$$\begin{aligned} \langle q_0, p_0 \rangle &= \langle q_1, p_1 \rangle = 1, \\ \langle q_1, p_0 \rangle &= \langle q_0, p_1 \rangle = 0. \end{aligned} \quad (6.7)$$

donde  $\langle \cdot, \cdot \rangle$  denota el producto escalar estándar en  $\mathbb{R}^2$ :  $\langle x, y \rangle = x_1y_1 + x_2y_2$ .

Si seleccionamos  $q_0$  y  $q_1$  como base de  $\mathbb{R}^2$ , entonces cualquier vector  $x \in \mathbb{R}^2$  se puede representar de manera única como

$$x = y_1q_0 + y_2q_1,$$

para ciertos  $y_{1,2} \in \mathbb{R}$ . Tomando en cuenta (6.7) obtenemos que estas nuevas coordenadas  $(y_1, y_2)$  vienen dadas por

$$\begin{cases} y_1 = \langle p_0, x \rangle, \\ y_2 = \langle p_1, x \rangle. \end{cases} \quad (6.8)$$

En las coordenadas  $(y_1, y_2)$ , el sistema (6.4) toma la forma

$$\begin{pmatrix} \dot{y}_1 \\ \dot{y}_2 \end{pmatrix} = \begin{pmatrix} 0 & 1 \\ 0 & 0 \end{pmatrix} \begin{pmatrix} y_1 \\ y_2 \end{pmatrix} + \begin{pmatrix} \langle p_0, F(y_1 q_0 + y_2 q_1) \rangle \\ \langle p_1, F(y_1 q_0 + y_2 q_1) \rangle \end{pmatrix}. \quad (6.9)$$

Note la forma particular de la matriz jacobiana, la cual corresponde al bloque de Jordan de orden 2 con ceros en la diagonal.

Ocupemos las coordenadas  $(y_1, y_2)$  para todo  $\alpha$  con  $\|\alpha\|$  pequeño. En estas coordenadas, el sistema original (6.3) queda:

$$\begin{pmatrix} \dot{y}_1 \\ \dot{y}_2 \end{pmatrix} = \begin{pmatrix} \langle p_0, f(y_1 q_0 + y_2 q_1) \rangle \\ \langle p_1, f(y_1 q_0 + y_2 q_1) \rangle \end{pmatrix}, \quad (6.10)$$

el que se reduce a (6.9) para  $\alpha = 0$ . Expandiendo el lado derecho de (6.10) como serie de Taylor con respecto a  $y$  en  $y = 0$ :

$$\begin{cases} \dot{y}_1 = y_2 + a_{00}(\alpha) + a_{10}(\alpha)y_1 + a_{01}(\alpha)y_2 \\ \quad + \frac{1}{2}a_{20}(\alpha)y_1^2 + a_{11}(\alpha)y_1y_2 + \frac{1}{2}a_{02}(\alpha)y_2^2 + P_1(y, \alpha), \\ \dot{y}_2 = b_{00}(\alpha) + b_{10}(\alpha)y_1 + b_{01}(\alpha)y_2 \\ \quad + \frac{1}{2}b_{20}(\alpha)y_1^2 + b_{11}(\alpha)y_1y_2 + \frac{1}{2}b_{02}(\alpha)y_2^2 + P_2(y, \alpha), \end{cases} \quad (6.11)$$

donde los coeficientes  $a_{kl}(\alpha), b_{kl}(\alpha)$  y  $P_{1,2}(y, \alpha) = O(\|y\|^3)$  son funciones suaves en sus argumentos. A partir de (6.9) tenemos

$$a_{00}(0) = a_{10}(0) = a_{01}(0) = b_{00}(0) = b_{10}(0) = b_{01}(0) = 0.$$

Las funciones  $a_{kl}(\alpha)$  y  $b_{kl}(\alpha)$  se pueden expresar en términos del lado derecho

$f(x, \alpha)$  de (6.3) y de los vectores  $q_{0,1}, p_{01}$ . Por ejemplo,

$$\begin{cases} a_{20}(\alpha) = \frac{\partial^2}{\partial y_1^2} \langle p_0, f(y_1 q_0 + y_2 q_1) \rangle \Big|_{y=0}, \\ b_{20}(\alpha) = \frac{\partial^2}{\partial y_1^2} \langle p_1, f(y_1 q_0 + y_2 q_1) \rangle \Big|_{y=0}, \\ b_{11}(\alpha) = \frac{\partial^2}{\partial y_1 \partial y_2} \langle p_1, f(y_1 q_0 + y_2 q_1) \rangle \Big|_{y=0}. \end{cases}$$

A partir de transformaciones de coordenadas suaves (que dependen suavemente de los parámetros), reparametrizaciones del tiempo y cambios de parámetros obtenemos el siguiente resultado.

**Teorema 19** *Supongamos un sistema planar*

$$\dot{x} = f(x, \alpha), \quad x \in \mathbb{R}^2, \quad \alpha \in \mathbb{R}^2,$$

con  $f$  suficientemente suave tal que posee en  $\alpha = 0$  el equilibrio  $x = 0$  con un valor propio cero doble  $\lambda_{1,2}(0) = 0$ .

Asuma que las siguientes condiciones de genericidad se satisfacen:

(BT1) La matriz jacobiana  $A_0 = Df_x(0, 0) \neq 0$ ;

(BT2)  $a_{20}(0) + b_{11}(0) \neq 0$ ;

(BT3)  $b_{20}(0) \neq 0$ ;

(BT4) La aplicación

$$(x, \alpha) \mapsto (f(x, \alpha), \operatorname{tr}(Df_x(x, \alpha)), \det(Df_x(x, \alpha)))$$

es regular en el punto  $(x, \alpha) = (0, 0)$ .

Entonces el sistema es localmente topológicamente equivalente cerca del origen a una de las siguientes formas normales:

$$\begin{cases} \dot{y}_1 = y_2, \\ \dot{y}_2 = \beta_1 + \beta_2 y_1 + y_1^2 + s y_1 y_2, \end{cases} \quad (6.12)$$

donde  $s = \operatorname{sign}((a_{20}(0) + b_{11}(0))b_{20}(0)) = \pm 1$ .

Existen varias formas normales (equivalentes) para la bifurcación Bogdanov-Takens. La forma normal (6.12) fue introducida por Bogdanov, mientras que Takens derivó (de manera simultánea e independiente) la forma normal

$$\begin{cases} \dot{y}_1 = y_2 + \beta_2 y_1 + y_1^2, \\ \dot{y}_2 = \beta_1 + s y_1^2, \end{cases}$$

donde  $s = \pm 1$ .

### Diagrama de bifurcación de la forma normal

Escojamos  $s = -1$  en el sistema (6.12):

$$\begin{cases} \dot{y}_1 = y_2, \\ \dot{y}_2 = \beta_1 + \beta_2 y_1 + y_1^2 - y_1 y_2. \end{cases} \quad (6.13)$$

La figura 6.7 muestra el diagrama de bifurcación. Todos los equilibrios están ubicados en el eje horizontal  $y_2 = 0$  y satisfacen la ecuación

$$\beta_1 + \beta_2 y_1 + y_1^2 = 0.$$

Esta ecuación puede tener entre cero y dos raíces reales. La parábola

$$F = \{(\beta_2, \beta_1) : 4\beta_1 - \beta_2^2 = 0\}$$

determina el signo del discriminante asociado y corresponde a una bifurcación fold: A lo largo de esta curva el sistema (6.13) posee un equilibrio con un valor propio cero. Si  $\beta_2 \neq 0$ , entonces la bifurcación fold es no degenerada y cruzar  $F$  de derecha a izquierda implica la aparición de dos equilibrios. Denotemos al izquierdo por  $E_1$  y al derecho por  $E_2$ :

$$E_{1,2} = (y_{1,2}^0, 0) = \left( \frac{-\beta_2 \mp \sqrt{\beta_2^2 - 4\beta_1}}{2}, 0 \right).$$

El punto  $(\beta_2, \beta_1) = (0, 0)$  separa dos ramas  $F_-$  y  $F_+$  de la curva fold correspondientes a  $\beta_2 < 0$  y  $\beta_2 > 0$ , respectivamente: Pasar por  $F_-$  implica el colapso de un nodo estable  $E_1$  con un punto silla  $E_2$ , mientras que pasar por  $F_+$  genera un nodo inestable  $E_1$  y una silla  $E_2$ .

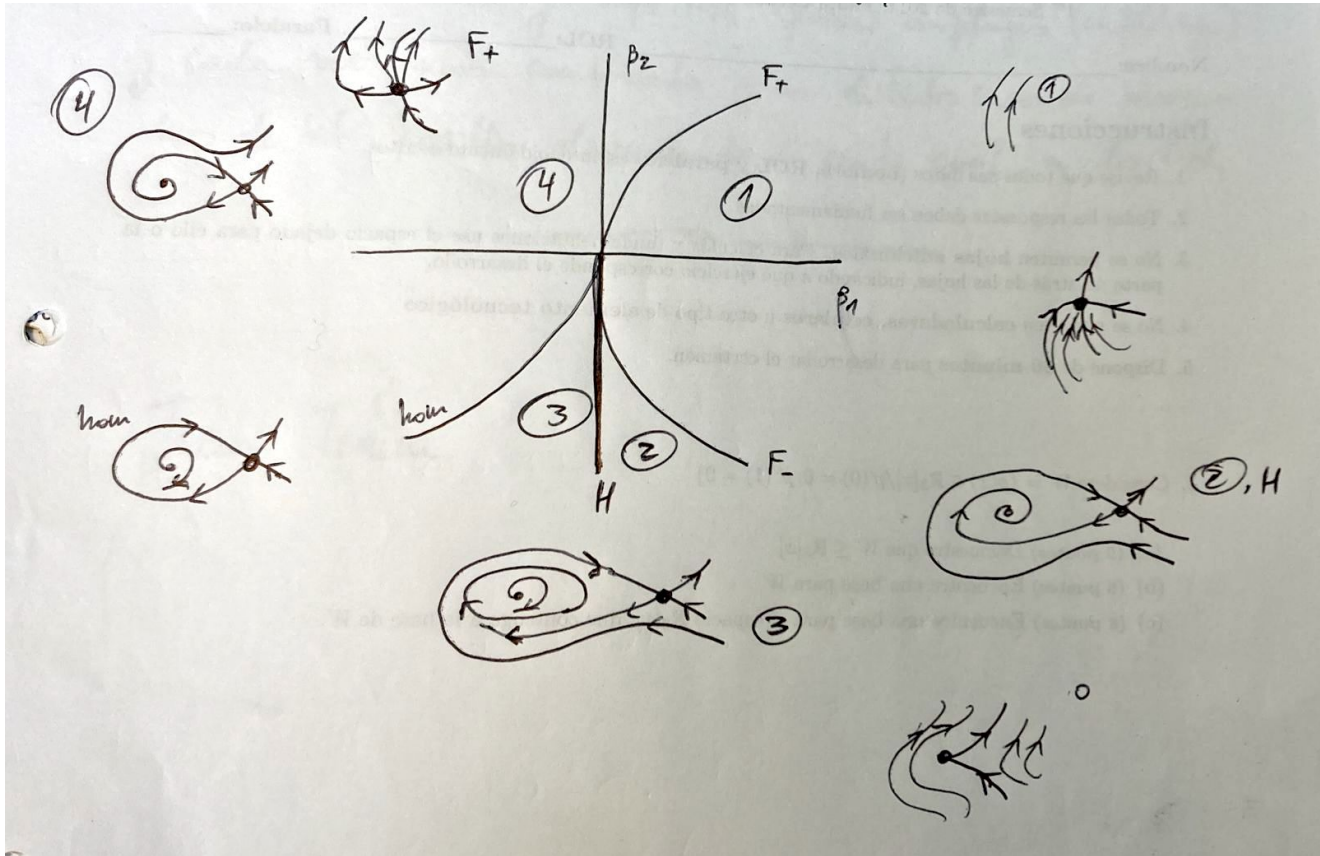


Figura 6.7: Diagrama de bifurcación de la forma normal (6.12) con  $s = -1$  de la bifurcación Bogdanov-Takens.

El semieje vertical

$$H = \{(\beta_1, \beta_2) : \beta_1 = 0, \beta_2 < 0\}$$

corresponde a una bifurcación de Hopf no degenerada donde el equilibrio  $E_1$  tiene un par de valores propios con parte real nula ( $\lambda_{1,2} = \pm i\omega$ ). La bifurcación de Hopf da lugar a un ciclo límite estable pues  $l_1 < 0$ . El ciclo existe cerca de  $H$  para  $\beta_1 < 0$ . El equilibrio  $E_2$  permanece como silla para todos los valores de parámetros a la izquierda de la curva  $F$  y no pasa por bifurcaciones. No existen otras bifurcaciones locales en la dinámica de (6.13).

Realicemos un circuito alrededor de  $(\beta_1, \beta_2) = (0, 0)$  para  $(\beta_1, \beta_2)$  suficientemente pequeños, partiendo desde la región 1 donde no hay equilibrios (y luego no pueden haber ciclos límite). Entrando desde la región 1 a la región 2 a través

de  $T_-$  aparecen dos equilibrios: una silla y un nodo estable. Luego, el nodo se transforma en foco y pierde estabilidad a medida que cruzamos la curva  $H$ : Aparece un ciclo límite estable para valores de parámetros cercanos a  $H$  en la región **3**. Si continuamos el circuito en sentido horario y volvemos a la región **1** no debe permanecer ningún ciclo límite. ¿Cómo desaparece el ciclo límite estable creado en la bifurcación de Hopf? No puede ser a través de otra bifurcación de Hopf, pues la estabilidad del equilibrio  $E_1$  volvería a cambiar. Tampoco puede ser por una bifurcación silla-nodo de ciclos, pues no hay un segundo ciclo cerca de  $(\beta_2, \beta_2) = (0, 0)$ . Por lo tanto, deben haber bifurcaciones globales “destruyendo” el ciclo en algún lugar entre  $H$  y  $F_+$ . La respuesta es la existencia de una curva de bifurcación homoclínica

$$hom = \left\{ (\beta_2, \beta_2) : \beta_1 = -\frac{6}{25}\beta_2^2 + o(\beta_2^2), \beta_2 < 0 \right\}$$

que se origina en  $(\beta_2, \beta_2) = (0, 0)$  y separa las regiones **3** y **4**. A lo largo de  $hom$  el sistema (6.13) tiene una órbita homoclínica a la silla  $E_2$ . A medida que trazamos la homoclínica a lo largo de  $hom$  hacia el punto Bogdanov-Takens  $(\beta_2, \beta_2) = (0, 0)$ , el loop se va encogiendo y (en el límite) desaparece. De esta manera, existe un único ciclo hiperbólico (estable) para parámetros dentro de la región **3** acotada por la curva  $H$  y por la curva  $hom$ , y no existen ciclos fuera de esta región. El ciclo que nace en  $H$  “crece” y se acerca al punto silla  $E_2$ ; finalmente “muere” al transformarse en la órbita homoclínica en  $hom$ .

Para completar el circuito, notemos que no existen ciclos en la región **4** ubicada entre la curva  $hom$  y la rama  $F_+$ . Un nodo inestable y una silla —que existen para valores de parámetros en **4**— colisionan y desaparecen en la curva fold  $F_+$ . Señalemos también que en  $(\beta_2, \beta_2) = (0, 0)$  el equilibrio crítico con un valor propio cero doble tiene exactamente dos órbitas asintóticas (una que tiende al equilibrio para  $t \rightarrow +\infty$  y una que se acerca para  $t \rightarrow -\infty$ ). Estas órbitas forman una punta con forma de cúspide.

#### COMENTARIOS.

1. El caso  $s = +1$  se puede tratar de manera similar. Dado que se puede reducir al caso ya presentado mediante la sustitución  $t \mapsto -t$ ,  $y_2 \mapsto -y_2$ , los retratos

paramétricos permanecen pero el ciclo se vuelve inestable cerca del punto Bogdanov-Takens.

2. El teorema anterior nos entrega una manera analítica —al verificar las condiciones de bifurcación y las condiciones de genericidad (BT1)-(BT4)— de probar la existencia de una bifurcación homoclínica. Este es uno de los pocos métodos regulares para detectar bifurcaciones homoclínicas analíticamente.
3. El caso multidimensional de la bifurcación Bogdanov-Takens no trae nada nuevo pues se puede reducir al caso planar usando el teorema de la variedad central. Por ejemplo, una forma normal topológica para la bifurcación Bogdanov-Takens en  $\mathbb{R}^n$  es:

$$\begin{cases} \dot{y}_1 = y_2, \\ \dot{y}_2 = \beta_1 + \beta_2 y_1 + y_1^2 + s y_1 y_2, \\ \dot{\xi}_- = -\xi_-, \\ \dot{\xi}_+ = \xi_+, \end{cases}$$

donde  $s = \pm 1$ ,  $\xi_{\pm} \in \mathbb{R}^{n_{\pm}}$ , y  $n_+$  y  $n_-$  son el número de valores propios del equilibrio crítico con  $\operatorname{Re}\lambda > 0$  y  $\operatorname{Re}\lambda < 0$ , respectivamente, tal que  $n_- + n_+ + 2 = n$ .